

## 乱流拡散の modeling について

### — 数値 simulation の基本的ないくつかの問題 —

京大理 物理 中澤 宏

#### 1. まえおき

乱流拡散の理解の重要性は公害現象等を挙げるまでもなく明瞭かだが、数値実験的な試みとなると、乱流場そのものの精密な数値計算の難しさに加えて、その上で大いに不安定であろうと予測される粒子軌跡の算出可能性そのものが疑問の対象となり得る。しかしその困難をおいても、*closures* 等の近似理論の直接検証やあるいは我々の視覚的な現象把握と、再現性と共に与えてくれるであろう数値実験の価値は、もし可能ならば得難いものがあろう。ここでは現実乱流 (Navier-Stokes 方程式) の枠組みは一度念頭から外して、乱流拡散の数学的構造と (いくつかの側面) の犠牲のもとではあるが) feasible に実現する模型を考え、現実乱流の数値解析に登場するであろう困難の予測と解決、あるいは困難を避けた定式化への指針を得たいと思う。我々は模型、いわば「絵空事」を考える。勿論、あまり勝手な絵空事では物理的に有用な対象にはなりにくい。以下ではどのような制限を置き、どの側面に注意すべきかについて、乱流理論の関連した発展の中から学び (第2節)、それに基づいて今迄注目されていなかったと思われる数値解析上の問題の考察を進める (第3節)。

始めに「絵空事」として何を考えるかを明確にする。

定義 1  $d$  次元空間の領域  $D$  のベクトル  $\mathbf{r}$  上の  $d$  次元ベクトル函数  $A(\mathbf{r}, t) \equiv A(\mathbf{r}, t; \omega)$  は 見本を指定するパラメータ  $\omega \in \Omega$  に依存する random な場で,  $D$  の境界  $\partial D$  で適当な境界条件を満たすものとする。微分方程式

$$d\mathbf{r}/dt = A(\mathbf{r}, t; \omega), \quad \mathbf{r}(0) = \mathbf{r}_0 \in D, \quad (1)$$

の解  $\mathbf{r}(t) \equiv \mathbf{r}(t; \mathbf{r}_0, \omega)$  を「乱流拡散過程」と呼び,

$$dR/dt = A[\mathbf{r}(t; \mathbf{r}_0, \omega) + R; \omega] - A[\mathbf{r}(t; \mathbf{r}_0, \omega); \omega], \quad R(0) = R_0. \quad (2)$$

の解  $R(t) \equiv R(t; \mathbf{r}_0, R_0, \omega)$  を「相対拡散過程」と呼ぶ。

(2)式の右辺を random 場  $B(R, t; \omega)$  と見れば, (2) が (1) に含まれる。我々は (1) や (2) の数値解析を目的において、どのような  $A(\mathbf{r}, t; \omega)$  が扱いやすく relevant か、それにについて (1) や (2) では何をどのように求めるのが、問題点は何か、等を考え、いわば実験のための modeling を行いたい。(1) や (2) について次の事はよく知られている:

系 2  $A(\mathbf{r}, t; \omega)$  の各成分が 任意の  $\omega \in \Omega$  をとめた時 すべての  $t$  と  $\mathbf{r} \in D$  について連続、特に  $\mathbf{r}$  については Lipschitz 連続なら、 $\mathbf{r}(t; \mathbf{r}_0, \omega)$  は 任意の  $\mathbf{r}_0 \in D$  に対し、 $\mathbf{r}(t)$  が  $\partial D$  に到達するまで 1 対に存在する。即ち  $\mathbf{r}_0$  の異なる軌道は  $\partial D$  に達するまで決して交わらない。

乱流拡散研究の礎石は、言うてもなく、Taylor (1922)<sup>1)</sup> によって与えられた。その古典的な論文で彼は乱流拡散過程と「連続な path を持つ確率過程」として認識し、乱流の流体粒子の速度、座標の 1 成分  $u(t), x(t)$  のうち、速度は定常過程、座標は定常増分過程と把握して次の基本関係を導いた:

$$\langle u(t) u(0) \rangle \equiv \text{Lagrange 速度相関函数}, \quad (3)$$

$$x(t) - x(0) = \int_0^t u(s) ds, \quad (4)$$

$$\kappa(t) \equiv \langle [x(t) - x(0)] u(t) \rangle = \int_0^t L(s) ds \xrightarrow{t \rightarrow \infty} \kappa_\infty \equiv \text{乱流拡散係数}, \quad (5)$$

$$\langle [x(t) - x(0)]^2 \rangle = 2 \int_0^t \kappa(s) ds = 2 \int_0^t (t-s) L(s) ds \xrightarrow{t \rightarrow \infty} 2 \kappa_\infty t. \quad (6)$$

ここで  $\langle \dots \rangle$  は期待値であり、(4)–(6) 式では空間は無限としている。(6)式の  $\kappa_2$  ~  $\kappa_3$  表現には Kampé de Fériet (1939)<sup>2)</sup> による。Taylor は過程のガウス性等の完全な固定は与えていないが、Wiener (1923)<sup>3)</sup> による Wiener 過程の数学的确立や Khintchine (1934)<sup>4)</sup> によるスペクトル分解

$$L(t) = \int_0^\infty \cos \lambda t d\sigma(\lambda) \quad (7)$$

を想起しても、その先駆性がうかがわれる。

Taylor によって方向づけられた所に、乱流現象における基本問題は我々にとっても Lagrange 速度相関函数  $L(t) = \langle u(t) u(0) \rangle$  の構造の理論・数値的理解であり Euler 的「速度場」 $A(r, t; \omega)$  の成分の相関函数との関係である。それは最も手短かには  $\kappa_\infty$  のような積分量の関係だが、もと細かな構造の関係も当然望される。数値解析のためににはまず確率場  $A(r, t; \omega)$  がやさしい形に与えられなければならぬのだから、勿論、現実乱流の戯画上ではこの関係を見る事はできない。それでも通常性に偏り、いろいろな問題を汲み取る事は可能である。特に(1)や(2)の数値解析では通常の微分方程式とは異なる様相も現れる。通常の偏・常微分方程式として扱いながら生じる問題への視野はオ2節で review される。(1)や(2)の(確率的)微分方程式特有の問題の概観と解決への方向付けはオ3節で論じられるだろう。

## 2. 乱流理論から

Patterson と Cornein (1966)<sup>5)</sup> は離散化した1次元空間( $x$ 軸)上で±1を値として取る速度場による離散的運動(random walk)を計算機上 simulate する事によって、Euler 相関と Lagrange 相関の関係を特に追求した。彼等の得た結果は、この意図についてはあくまで成功しなかったが、乱流拡散の数値計算について多くの示唆を与えている。用いられた

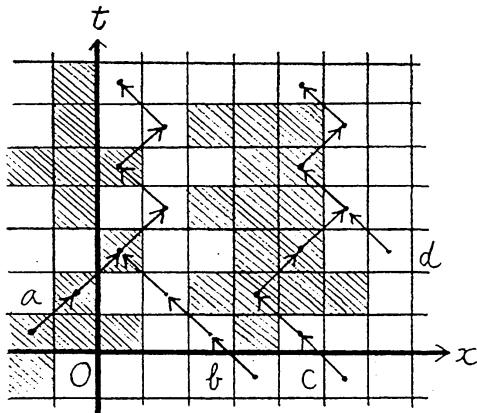


図 1. "dynamics"

"dynamics" は図 1 に示される。ここで影のついた cell 内では粒子の速度は +1, そうでない all では -1 であり、"Lagrange 粒子" の運動としては現在の cell での速度に従って次の時刻での cell が選ばれる。このような random

field は、 $x-t$  平面の各 cell に独立一様乱数系列に従って ±1 を与え、それを  $3 \times 3$  cells, あるいは  $3 \times 5$  又は  $5 \times 3$  cells 等について平均したものの符号を中央の cell の速度とする filtering を繰り返して、適当な  $x-t$  相関を持つ「速度場」を構成して得られた。彼等の得た主な結論は次の通りである。

[1]  $x-t$  時空のどんな曲線に沿って 1 次元化した Eulerian 速度場の correlation  $\tau$ , Lagrange 相関を定性的にも再現できなかつた。しかし乱流拡散係数を与える integral scale  $\int_0^\infty L(t) dt$  については、Euler 場の  $x-t$  時空の対角線(粒子がつねに速度 +1 又は -1 で動くとした線)に沿つての Eulerian integral scale と大体合致した。

[2] 粒子の運動で特徴的な事は、ひとつは  $u = +1$  の時空領域と -1 のそれとの境界に軌跡が図 1 中のように絡むこと、もうひとつは図 1 a と b, c と d に見られるように

異なる cell からの粒子が合体し得る事である。前者は、連続模型への極限で得られる(1)では、定常な fixed point  $A=0$  のまわりでの粒子の停留に収束すべきもので、問題はない。後者は連続極限でも、特に(2)の相対拡散で  $R \sim 0$  で打ち切り誤差と絡んで問題となるだろう。少し皮肉な事実は、1~2次元でのブラウン運動は再帰的で、この  $R \sim 0$  の近傍での(2)の積分上の問題——右辺の精度——が繰り返し問題となるだろうに、3次元では非再帰的なので、 $A(r, t; \omega)$  の精度よい算出は難しがろうが  $R \sim 0$  での(2)の右辺の消失はあちく深刻な問題ではない、という対比である。

このような離散モデルの欠点のない数値実験は Kraichnan (1970)<sup>6)</sup> によって行われた。彼は Roberte (1961)<sup>7)</sup> の解析結果の検証に目的を置いた。Roberte は  $r \in \mathbb{R}^d$  の Eulerian 速度場  $A(r, t) \equiv A(r, t; \omega)$  中の粒子が(1)に従う軌道  $r(t)$  を持つとして、 $\psi(x, t) \equiv \psi(x, t; \omega) \equiv \delta[x - r(t; \omega)]$  を考えた。次の方程式が成立する：

$$\partial \psi(x, t; \omega) / \partial t + \operatorname{div}_x [\psi(x, t; \omega) A(x, t; \omega)] = 0, \quad \psi(x, 0) = \delta(x - r_0). \quad (8)$$

時刻  $t$  での位置  $x$  での平均粒子存在密度は次である：

$$G(x, t | r_0, 0) = \langle \psi(x, t; \omega) \rangle, \quad G(x, 0 | r_0, 0) = \delta(x - r_0). \quad (9)$$

命題 3 (Roberte<sup>7)</sup>)  $A(r, t; \omega)$  が一様・定常なら、 $G(x, t | r_0, 0) = G(x - r_0, t)$  である。この時 Kraichnan (1959)<sup>8)</sup> の DIA 近似<sup>9)</sup> は次の方程式を与える：

$$\begin{aligned} \partial G(x, t) / \partial t &= \int_0^t dt' \int dx' \sum_{j,k=1}^d \frac{\partial^2}{\partial x_j \partial x_k} C_{jk}(x', t') G(x', t') G(x - x', t - t'), \\ C_{jk}(x, t) &\equiv \langle A_j(x + r, t + s) A_k(r, s) \rangle \end{aligned} \quad (10)$$

特に  $\operatorname{div}_r A(r, t) = 0$  (非圧縮) なら、(10) は次で表される：

$$\partial G(x, t) / \partial t = \sum_{j,k=1}^d \frac{\partial^2}{\partial x_j \partial x_k} \int_0^t dt' \int dx' C_{jk}(x', t') G(x', t') G(x - x', t - t'). \quad (11)$$

實際は Roberts は非圧縮な  $A(\mathbf{r}, t)$  を  $\mathbf{r} \in \mathbb{R}^3$  で「考へたが」、一様性や定常性は外せる事を述べている。Roberts の論理を逐次追うと、 $d$  次元でも、また  $\operatorname{div} A = 0$  を使めないでも(10)が仮定「 $d$ -次元の必ずしも非圧縮でない  $A(\mathbf{r}, t; \omega)$  について、Kraichnan<sup>8)</sup> の weak statistical dependence が成立つ」の下に得られるから、上の導出の詳細は省く。同じ考え方にして、Roberts は相対乱流拡散を解析した。最も簡単な量として、 $t=0$  に  $\mathbb{R}_0$  離れていた 2 つの Lagrange 粒子の時刻  $t$  での相対位置が  $\mathbb{R}$  である確率密度  $H(\mathbf{R}, t | \mathbb{R}_0)$  は一様定常な Eulerian field では

$$\left. \begin{aligned} H(\mathbf{R}, t | \mathbb{R}_0) &= \int d\mathbf{x} \langle \varphi(\mathbf{x} + \mathbf{R}, t; \omega) \psi(\mathbf{x}, t; \omega) \rangle, \\ \frac{\partial}{\partial t} \left( \begin{matrix} \varphi \\ \psi \end{matrix} \right)(\mathbf{x}, t; \omega) + \operatorname{div}_{\mathbf{x}} \left[ \left( \begin{matrix} \varphi \\ \psi \end{matrix} \right)(\mathbf{x}, t; \omega) A(\mathbf{x}, t; \omega) \right] &= 0, \\ \varphi(\mathbf{x}, 0) &= \delta(\mathbf{x} + \mathbf{R}_0), \quad \psi(\mathbf{x}, 0) = \delta(\mathbf{x} - \mathbf{R}_0) \end{aligned} \right\} \quad (12)$$

と考へて得られる。もとより  $\varphi, \psi$  への DIA 近似は  $H(\mathbf{R}, t | \mathbb{R}_0)$  の方程式に  $\varphi, \psi$  の始時刻、終時刻が異なる量の導入を要するか。齊藤、中内、大島 (1989)<sup>10)</sup> の MHD 乱流の問題は  $\varphi = \psi$  とした 2 次元相対拡散問題 (12) と類似しており、いろいろな欠点はあるけれど DIA 近似を Roberts にならって適用する事ができれば興味深く思われる。

再び Kraichnan (1970)<sup>6)</sup> に戻る。彼は波数空間を離散化して、場  $A(\mathbf{r}, t)$  のフーリエ成分の初期値を独立ガウス分布にとり、それらの線型な（従って人工的な）時間発展を定義して、非圧縮・一様・定常・ガウス型の場  $A(\mathbf{r}, t; \omega)$  を構成し、その上で (1) 式の simulationを行った。memory に貯えられるのはフーリエ成分であり、 $A(\mathbf{r}, t; \omega)$  は Lagrange 粒子の場所で必要に応じて実空間に合成された。換言すれば離散化はフーリエ空間に移され、実空間では自動的に  $\infty$  回可微分な  $A(\mathbf{r}, t; i)$  が得られていく。Eulerian 相関  $C_{jk}$  は数式で算出して、Roberts の DIA の結果 (11) は初期

値問題として解かれ、 $G(x, t)$ から Lagrangian 相関が

$$\langle^{(Roberts)}_{jk}(t) \equiv \int dx C_{jk}(x, t) G(x, t)$$

と算出された。(1)の直接 simulation の  $\langle_{jk}(t)$  との合致は驚くほどよい。<sup>8), 11)</sup>

もちろん、Gauss 型場  $A(r, t; \omega)$  は相関  $C_{jk}(r, t)$  で完全に規定される。だから何が非 Gauss 的な場  $A(r, t; \omega)$  を作って、その上で DIA の精度を確かめる事は興味があるとして残しているが、どうやらせよ DIA は強力なオーパーフィットであろう。

### 3. 数値 simulation のいくつかの問題

乱流拡散を(1)によって simulate するには、まず random な  $A(r, t; \omega)$  を与えなければならない。Patterson と Corrsin<sup>5)</sup> のように、実空間で離散化し「力学」を与えて、但し空間・時間的に補間したものを(1)の右辺とする事もできる。あるいは Kraichnan<sup>6)</sup> のように、Fourier 空間を離散化して力学を与える方法もある。もし現実に近づくなら、Navier-Stokes 乱流についての large eddy simulation 上での同様な試みになるだろう。ここでははるかに簡単だが「流体」に近い模型として forced Burgers 流体上の simulation (cf. Love and Leslie (1979);<sup>12)</sup> Nakazawa (1987)<sup>14)</sup>) を考える。Static な Eulerian 場上の Lagrangian turbulence も考えられるが「乱流拡散」とは離れるように思われる所以、ここでは採らない。

Simulation の便宜上は random な定常場  $A(r, t; \omega)$  が用意がよい。 $d=1$  の Burgers 流体で言えば、これは random force によって実現される：

$$\partial u(x, t)/\partial t + \frac{1}{2} \partial u^2 / \partial x = -\nu \partial^2 u / \partial x^2 + F(x, t; \omega), \quad \nu > 0. \quad (13)$$

特に簡単な random force の形  $F(x, t; \omega) = \sigma(x) f(t; \omega)$  を考えよう。我々は

まず天下りに  $f(t; \omega)$  が "standard Gaussian white noise" である場合、

$$\langle f(t; \omega) \rangle = 0, \quad \langle f(s; \omega) f(t; \omega) \rangle = \delta(s-t), \quad (14)$$

を取る。理由は、これか下に見るように、数値 simulation 上大変好い性質を持つからである。この場合 (13) の解の存在とその性質はくわしく調べられている。<sup>13)</sup>

次が成り立つ：

命題4  $\nu > 0$ ,  $\sigma(x)$  と  $u(x, t; \omega)$  は  $x$  の有限区间上同じ境界条件 (周期, 固定, …) を満たすとし、 $\sigma$  は 3 回連続微分可能とする。この時 (13) の解は一意で、連続な  $u_{xx}(x, t; \omega)$  を持つ。また極限  $\nu \downarrow 0$  でも、 $u(x, t; \omega)$  が初期に滑らかなら、任意の有限の  $t > 0$  においてもそれは有限個の shock しか持たない。

要するに、 $\nu > 0$  であり  $\sigma(x)$  が十分滑らかなら、 $u(x, t; \omega)$  は  $d=1$  の (1) 式の右辺として適格であり、その上の「乱流拡散」を考えることができる。

実際に (13) の  $u(x, t; \omega)$  を用いて (1) を解くためには、まず (13) やその他の数値的に解かなくてはならない。実空間と離散化するかあるいはスペクトル的諸方法かと問はず、(13) からは次の形の確率(常)微分方程式

$$du/dt = D[u(t), t] + \alpha f(t, \omega), \quad \alpha = \text{定数}, \quad (15)$$

の連立形が得られる。もちろん、Gaussian white noise  $f(t, \omega)$  は函数ではないから、Wiener過程、形式的には

$$B(t; \omega) \equiv \int_0^t f(s; \omega) ds, \quad (16)$$

に基いて (15) は次の確率積分方程式で定義される：

$$u(t; \omega) = u(0; \omega) + \int_0^t D[u(s), s] ds + \alpha B(t; \omega). \quad (17)$$

Wiener過程  $B(t; \omega)$  は (殆んどすべての  $\omega$  に対し)  $t$  の連続函数で、次の性質

①～③で規定される：

$$\textcircled{1} \quad B(0; \omega) = 0, \quad \textcircled{2} \quad \langle B(t; \omega) \rangle = 0, \quad \textcircled{3} \quad \Delta(t, h; \omega) \equiv B(t+h; \omega) - B(t, \omega)$$

は任意の  $h > 0$  に対し  $B(s; \omega) (s \leq t)$  と独立な Gaussian で  $\langle \Delta^2(t, h; \omega) \rangle = h$ .

(17) の数値解法を考えよう。まず時間  $t$  を  $\Delta t = h$  の刻みで離散化する。必要な事は時刻  $t = nh$  ( $n = 0, 1, 2, \dots$ ) での  $B(t) = B(nh; \omega)$  の構成である。次の簡単な手続きがこれに十分な事は ①～③から直ちにわかる：

$$B(nh) = \begin{cases} 0, & n=0 \\ \sqrt{h} (e_1 + \dots + e_n), & n \geq 1 \end{cases}, \quad \left( \begin{array}{l} \{e_1, e_2, \dots\} \text{ は互いに独立} \\ \text{立た標準正規変数} \end{array} \right) \quad (18)$$

数値計算上は時間刻みの変更による精度確認を行わなければならぬ。一般的の確率過程ではあらかじめすべての必要な時刻で値を与えておかないと、後からの補間は容易でない。ガウス型白色雑音  $f(t; \omega)$  の大きな利点は、これが非常に容易に行える点にある：

Lemma 5 (Lévy)  $\{e_1, e_2, \dots\}, \{f_1, f_2, \dots\}$  はすべて独立な標準正規変数列とし、 $B(nh)$  を (18) で定めるとする。新しく  $B'(t)$  を

$$B'(0) \equiv 0, \quad \left\{ \begin{array}{l} B'\left[\frac{(2n-1)h}{2}\right] \equiv B'\left[\frac{2(n-1)h}{2}\right] + \frac{\sqrt{h}}{2} (e_n - f_n) \\ B'\left[\frac{(2n)h}{2}\right] \equiv B'\left[\frac{(2n-1)h}{2}\right] + \frac{\sqrt{h}}{2} (e_n + f_n) \end{array} \right\}, \quad n \geq 1 \quad (19)$$

と定義すると、 $\{B'(t); t = n \cdot \frac{h}{2}\}$  は  $\frac{h}{2}$  刻みの離散点で Wiener 過程の性質を満たし、 $B'(2n \cdot \frac{h}{2}) = B(nh)$  が成立つ。

証明は  $\{(e_n - f_n)/\sqrt{2}, (e_n + f_n)/\sqrt{2}\}$  が互いに独立な標準正規変数である事に注意すれば直ちに得られる。

以上のように (17) の最右辺が（原理上任意精度で）得られたからには、様々な

解法が考えられる。最も直観的には、 $v(t) \equiv v(t; \omega) \equiv u(t; \omega) - \alpha B(t; \omega)$  を取り、(17)のかわりに微分方程式

$$dv/dt = D[v(t; \omega) + \alpha B(t; \omega), t] \quad (20)$$

を解いてよい；我々の用途には一般に  $D(X, t)$  は  $X$  の多項式であり、(20) はなめらかな解を保証している。しかし (20) 右辺は  $t$  について連続性以上は持たず、 $v(t)$  は 2 階以上の導函数を持たない。この事は数値解析での通常の道具立て、高階微分の存在を前提とした補間法、Simpson 法等の積分法、Runge-Kutta 等の微分方程式解法、の (20) への 直接の適用 の利点を失わせる。もちろんこれらを形式的に用いる事はでき、それは  $B(t; \omega)$  を十分滑らかなもので近似（即ちガウス型白色雑音  $f(t; \omega)$  を (17) で十分滑らかなピンクノイズで置換）した場合<sup>13)</sup> の解法の意味を持つ。しかしやはりそれは別の方程式への近似であって、(17) そのものの時間刻みの高次までの精度は保証されない。これは Lemma 5 の好性質と引きかえの困難である。

今少し原則面を言うと、確率（偏）微分方程式の直接数値解法はひとつ又は少數個の見本解を得る数値 simulation であり、必ずしも時間的に恒常とは限らない構造を見出す重要な手段と考える。このような構造の消長は長時間にわたり得るから、それを得るために解法の安定性は不可欠である。Forced Burgers 乱流 (13) の数値シミュレーション<sup>14)</sup> では、この観点から、簡単だが安定な Lax (1954)<sup>15)</sup> の方法が採用された。これは (13) の最も単純な離散近似に対する最良予測<sup>16)</sup> に相当し、空間  $x$  の 1 次元性による自由度の少なさから  $\ll 1$  の使用に堪えたが、より大きい時間刻みを許す効率的な解法の開発は急務である。マルコフ性は侵すが、陰解法も試みるべきか。可能性の展望を求めて安定性を向う事をやめれば、例えば  $\sigma(x)$  が  $\omega$  数の長波長フーリエ

モードから成る時、スペクトル的方針によって  $x$  空間から波数空間へ移るのはどうか。 $t$  微分不可能性の克服に際して特記すべきは Helfand (1979)<sup>17)</sup> の方法である。確率微分方程式 (15) に即して述べよう。(17) に対応する Picard の反復法

$$u_{n+1}(t+h; \omega) = u(t; \omega) + \alpha \Delta(t, h; \omega) + \int_0^h D[u_n(t+s; \omega), t+s] ds, \quad (21)$$

を適当な次数  $n$  まで、 $0 < h < 1$  に対する 1 step  $t \rightarrow t+h$  に用いる。右辺では  $\alpha \Delta \sim O(h^{1/2})$  が入るべきから  $u_0(t+s; \omega) = u(t; \omega) + \alpha \Delta(t, s; \omega)$  から出発するのがよい。Helfand が示したのは、 $D(X, t)$  と  $X$  について Taylor 展開し、結果の期待値の  $n^{1/2}$  での展開を望む次数まで正確に再現する Runge-Kutta 的な前進差分 scheme が構成可能な事であった。

角びて (13) に戻れば、問題は  $x$  微分も含めて安定な(あるいはフーリエ空間での)高精度積分方法の開発である。例えは (21) を Lemma 5 と共に直接用いる反復法も、より大まかに且つ有用かもしれない。多くのなすべき事がそこにはある。それらが越えられた時、 $u(x, t; \omega)$  上の、あるいはより一般に  $A(x, t; \omega) \equiv u(x, t; \omega) - \langle u(x, t; \omega) \rangle$ ,  $J(X)$  は自由に選ぶ函数として  $A(x, t; \omega) \equiv J[u(x, t; \omega)]$  等々の上の乱流拡散 (1) は、乱流の構造の検出と解析のひとつの有用な手段を準備するだろう。

- 1) G. I. Taylor (1922) : Diffusion by continuous movements. Proc. London Math. Soc. Ser. 2, 20, 196-211.
- 2) J. Kämpe de Ferriet (1939) : Sur les équations de la diffusion thermique par turbulence. Ann. Soc. Sci. de Brux. 57, 67.
- 3) N. Wiener (1923) : Differential space. J. Math. and Phys. 2, 131-174.

- 4) A. Khintchine (1934) : Korrelationstheorie der stationären stochastischen Prozesse. *Math. Ann.* 109.
- 5) G. S. Patterson, Jr. and S. Corrsin (1966) : Computer experiments on random walks with both Eulerian and Lagrangian statistics. In "Dynamics of Fluids and Plasmas," edited by S. I. Pai, pp. 275-307.
- 6) R. H. Kraichnan (1970) : Diffusion by a random velocity field. *Phys. Fluids* 13, 22-31.
- 7) P. H. Roberts (1961) : Analytical theory of turbulent diffusion. *J. Fluid Mech.* 11, 257-283.
- 8) R. H. Kraichnan (1959) : The structure of isotropic turbulence at very high Reynolds numbers. *J. Fluid Mech.* 5, 497-543.
- 9) S. A. Orzag (1977) : Lectures on the statistical theory of turbulence. In "Les Houches 1973 Summer School," edited by R. Balian and J. L. Peube (Gordon and Breach), pp. 235-374.
- 10) 斎藤善雄, 中内紀彦, 大嶋洋 (1989) : 外部磁場による乱流の2次元化と構造. 「流れの不安定性と乱流の構造」研究集会 (京都).
- 11) A. S. Monin and A. M. Yaglom (1975) : "Statistical Fluid Mechanics," Vol. II (MIT Press), pp. 530-531.
- 12) M. D. Love and D. C. Leslie (1979) : Studies of subgrid modeling with classical closures and Burgers equation. In "Turbu-

lent Shear Flows I," edited by E. Durst et al. (Springer 1979), pp. 353-369.

- 13) H. Nakazawa (1982): Stochastic Burgers equation in the inviscid limit. *Adv. Appl. Math.* 3, 18-42.
- 14) H. Nakazawa (1987): Quasistationary structures on a class of forced Burgers Turbulence between walls. *Phys. Rev.* A35, 5137-5148.
- 15) P.D. Lax (1954): Weak solutions of nonlinear hyperbolic equations and their numerical computation. *Comm. Pure Appl. Math.* 7, 159-193.
- 16) A. H. Jazwinski (1970): "Stochastic Processes and Filtering Theory," (Academic Press).
- 17) E. Helfand (1979): Numerical integration of stochastic differential equations. *Bell System Tech. J.* 58, 2289-2299.